

несущую способность: прочность и устойчивость. Исходя из этого, в соответствии с прогнозируемым техническим состоянием зданий выбирают меры по их защите: ремонтно-восстановительные работы — при удовлетворительном и неудовлетворительном состояниях, конструктивные меры — при предаварийном состоянии, горные и конструктивные меры — при аварийном состоянии. Объем ремонтно-восстановительных работ и конструктивных мер защиты определяется в зависимости от степени соответствующего технического состояния.

### **Библиографический список**

1. Правила охраны сооружений и природных объектов от вредного влияния подземных горных разработок на угольных месторождениях. — М.: Недра, 1981.
2. Временные технические условия по охране сооружений и природных объектов от влияния подземных горных разработок. КД 12.00159226. 013 – 95 / Минуглепром Украины, УкрНИМИ. — Донецк, 1995.
3. Методические указания по прогнозу допустимых и предельных деформаций земной поверхности при многократной подработке зданий и сооружений. ВНИМИ. — Л., 1991.
4. Рекомендации по проектированию мероприятий для защиты эксплуатируемых зданий и сооружений от влияния горных разработок в основных угольных бассейнах. Стройиздат. — Л., 1967.

© Ермаков В.Н., Блинникова Е.В., Шнеер В.Р., 2002

УДК 622.243.952

КАЛИНИЧЕНКО О.И. (ДонНТУ)

## **К ВОПРОСУ ОПТИМИЗАЦИИ ГИДРОУДАРНЫХ ПОГРУЖНЫХ БУРОВЫХ СНАРЯДОВ (ПБС) ДЛЯ ОДНОРЕЙСОВОГО БУРЕНИЯ ПОДВОДНЫХ СКВАЖИН (ОПС)**

В статье затрагиваются вопросы развития отрасли морского бурового производства, касающиеся технического обеспечения однорейсовой проходки скважин глубиной 6–10 м с мобильных и экономичных буровых судов малого и среднего водоизмещения. По сути, не вызывает особых дискуссий техническая подготовленность бурения таких скважин в илах и неплотных песках. В то же время, ОПС на глубину 6–10 м в «тяжелых» грунтах (плотные пески различного гранулометрического состава, породы глинистого комплекса, гравийно-галечные отложения, детритовые известняки, прослои крепких пород) ни в отечественной, ни в зарубежной отрасли МБП технически не обеспечена.

Проведенными в ДонНТУ детальными исследованиями обоснована возможность принципиального решения проблемы на базе гидроударных ПБС, гидродвигатель которых функционально обеспечивает комплекс эффектов, реализуя комбинированный способ бурения: ударно-вибрационное разрушение горной породы, постоянную обратную циркуляцию жидкости в керноприемнике и размыв осадков по внешней поверхности колонкового набора. В соответствии с назначением ПБС — интенсифицировать процесс однорейсового бурения скважин в широком диапазоне донных осадков — естественным критерием эффективности его работы являются выходные показатели процесса ОПС, который, с позиции системного подхода, можно представить в виде структурной схемы (рис.1).

В рассматриваемой системе задействованы разнообразные факторы, которые разделены на две основные группы: технические (конструкция с соответствующими параметрами, кинематика и динамика ПБС) и технологические, являющиеся управ-

ляемыми режимными параметрами бурения. Отмеченные факторы различным образом воздействуют на процесс через взаимодействие со средой, определяя его выходные параметры: рейсовую углубку ( $L$ ), механическую скорость ( $V_{\text{мех}}$ ) и выход керна ( $BK$ ).



**Рис.1.** Структурная схема процесса однорейсовой проходки скважины погружными гидроударными буровыми снарядами:  $\square$  — энергия удара;  $n$  частота ударов бойка;  $Q_{\text{номп}}$  — интенсивностью восходящего движения воды в керноприемнике ПБС

Применительно к рассматриваемой системе, управление процессом имеет свою специфику, обусловленную характером требований к факторам, подвергающимся варьированию и средствам их обеспечения. С одной стороны существует определенная взаимосвязь между факторами технической группы системы и ее выходными параметрами ( $n, E, Q_{\text{номп}}$ ). С другой стороны установлено [2], что изменение вида модели разрушения, сопротивлений разрушающей среды продвижению пробоотборника в грунт и параметров

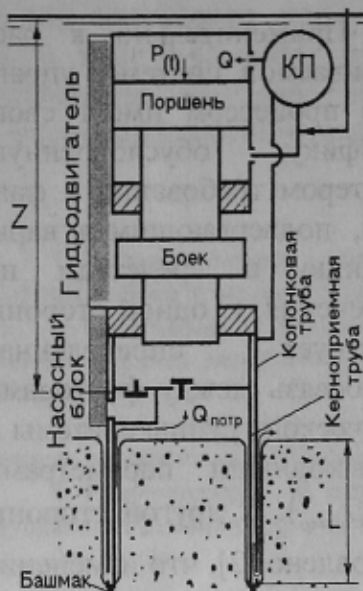
взаимодействия ПБС с горной породой не существенно влияет на количественные изменения частотно-энергетических характеристик и характер закономерностей работы гидроударного ПБС. В этой ситуации реализация оптимального варианта процесса ОПС обуславливает проблему определения рациональных технологических режимов ОПС на базе структурного и параметрического синтеза главного звена ПБС — гидроударного генератора нагрузок. Научно-технической и технологической основой проведения этих работ являются закономерности, связывающие параметры режима комбинированного бурения и работу гидроударных машин, параметры которых максимально приближаются к оптимальным.

Энергия удара ( $E$ ), при достаточной частоте ( $n$ ) ударов бойка является главным физическим критерием интенсивности воздействия внешних сил при бурении скважин [4]. Одновременно, взаимосвязанные характеристики  $E$  и  $n$  обуславливают достаточную величину амплитуды колебаний бурового снаряда, критическое значение которой определяет рациональное условие бурения несцементированных грунтов —  $A_{\min} \geq \alpha \delta$  ( $\delta$  — средневзвешенная крупность зерен рыхлых отложений,  $\alpha$  — экспериментальный коэффициент [3]).

Существенным средством достижения заданных выходных показателей ОПС с нормативным пробоотбором является возможность создания постоянного восходящего движения воды в керноприемнике ПБС с необходимой интенсивностью ( $Q_{\text{номп}}$ ) [2, 3].

Для технического обеспечения заданного соответствия управляемых режимных параметров ( $n, E, Q_{\text{номп}}$ ) выходным показателям процесса бурения ( $L, V_{\text{мех}}, BK$ ) предложена схема многофункционального гидроударного ПБС (рис.2). Гидродвигатель ПБС структурно представляет собой кинематический синтез двух систем: гидродвигателя и насосного блока (НБ), связанных общим законом функционирования. Гидродвигатель

формирует импульсы напряжения в колонковой трубе, энергия которых передается «башмаку». Одновременно, перемещающийся поршень ГУ обеспечивает работу НБ по созданию восходящего движения воды в керноприемной трубе. В процессе выхлопа отработанная жидкость совершаает работу по размытию стенок скважины.



**Рис.2.** Схема многофункционального гидроударного ПБС

В центре задачи определения оптимальных параметров ПБС находятся вопросы исследования динамики работы гидроударного генератора нагрузок. Рабочий процесс рассматриваемого класса машин описывается уравнениями движения поршня бойка в виде традиционного соотношения (1).

Расширенные функции гидродвигателя ПБС предопределили изменения в перечне регулярных сил, определяющих закономерность возвратно-поступательного перемещения главного исполнительного элемента машины — поршня-бойка (ПБ). Давление, формирующее движущую силу в цилиндре гидродвигателя машины (2), представлено с учетом потерь энергии жидкости на привод НБ (формула (3), третье слагаемое).

$$m \frac{d^2x}{dt^2} = P_{(t)} f - R; \quad (1)$$

$$P_{(t)} = k \rho \mu c \frac{f}{f_T} \left( \frac{Q}{f} - \frac{dx}{dt} \right) + P_1 + P_2; \quad (2)$$

$$P_1 = \left[ m V_1^2 (1 - \varphi^2) + 2 R S + \left( \lambda \int_0^L dL \frac{dx}{dt} - P_a - \rho g Z \right) \right] (2 Q T)^{-1}, \quad (3)$$

где  $m$  — масса подвижных частей исполнительного элемента машины;  $\frac{dx}{dt}$ ,  $\frac{d^2x}{dt^2}$  — текущее значение скорости и ускорения бойка;  $P_{(t)}$  — давление жидкости в активных камерах ГУ;  $f$  — рабочая площадь поршня;  $R$  — силы сопротивления движению поршня;  $k$  — коэффициент, учитывающий разрежение за поршнем при гидроударе;  $\rho$  — плотность жидкости;  $\mu$  — коэффициент утечек жидкости;  $c$  — скорость распространения гидроударной волны;  $f_T$  — площадь сечения трубопровода;  $Q$  — расход жидкости;  $P_1$  — давление, обусловленное работой жидкости в цилиндре ГУ;  $P_2$  — давление на преодоление сил сопротивлений, связанных с циркуляцией жидкости в гидроударной системе;  $V_1$  — скорость бойка в конце рабочего хода ( $S$ );  $\varphi$  — коэффициент восстановления скорости бойка;  $\lambda$  — коэффициент гидравлических сопротивлений при восходящем движении жидкости в керноприемной трубе [2];  $L$  — длина колонковой трубы;  $L_1$  — интервал заполнения керноприемной трубы керном;  $P_a$  — атмосферное давление;  $Z$  — координата НБ под уровнем моря;  $T$  — период цикла.

Выбор оптимальных конструктивных и рабочих параметров гидроударных машин, основан на аналитическом решении уравнения баланса объемов жидкости

(4), записанного с учетом изменения скорости потока на фазе свободного хода бойка ( $\Delta V$ ), обусловленной волновыми процессами в цилиндре при открытии органа управления машины:

$$\left\{ \begin{array}{l} QT = \frac{2fS}{\mu} + \frac{2S_2}{k_2 V_1} (V_1 + \Delta V) f; \\ \Delta V = \left[ k\rho c \left( \frac{Q}{f} - V_1 \right) \frac{f^2}{f_r} + (P_1 + P_2) f \right] \left[ f_0 \rho c \left( 1 + \frac{f}{f_r} \right) \right]^{-1}, \end{array} \right. \quad (4)$$

где  $f_0$  — площадь сечения канала органа управления;  $S_2$  — свободный ход бойка;  $k_2$  — коэффициент потерь скорости бойка на свободном ходе.

Зависимость (4) решается относительно времени рабочего хода бойка ( $t_1$ ), являющегося основой расчета остальных параметров машины (таблица).

**Таблица.** Расчетные формулы для определения рабочих параметров ГУ

Параметр	Формула	Параметр	Формула
Скорость бойка в конце рабочего хода	$V_1 = \frac{S}{t_1} (1 - e^{-at_1}) \left[ 1 - \frac{1}{at_1} (1 - e^{-at_1}) \right]^{-1}$	Время цикла	$T = 2 \left( t_1 + \frac{S_2}{k_2 V_1} \right)$
Коэффициент	$a = k\rho c \mu \frac{f^2}{f_r}$		$n = T^{-1}$
Скорость соударения	$V_2 = \sqrt{V_1^2 - \frac{2S_2 P(t) f}{m}}$	Эффективная мощность	$N_e = 2En$
Энергия удара	$E = 0.5mV_2^2 (1 - \phi^2)$	Мощность на привод	$N = QP(t)$
		КПД	$\eta = N_e/N$

Для решения задачи выбора основных параметров ПБС необходимо обеспечить наибольший уровень мощности гидроударной машины при заданных ее габаритах и ограничениях по выходным параметрам, прежде всего по  $n$  и  $E$ . Кроме того, с учетом постоянно изменяющихся условий эксплуатации и параметров среды, для получения максимальных выходных параметров системы «ПБС — скважина», оптимальная рабочая область функционирования ПБС должна удовлетворять условию оперативного дрейфа сочетания  $n$  и  $E$  внутри этой области.

Решение задачи осложняется ограниченной резервной энергоемкостью малотоннажных буровых судов. Это в свою очередь существенно ограничивает режимными параметрами привода гидроударной машины (допустимое значение расхода жидкости  $[Q]$  и давления в системе  $[P]$ ), которые являются фактором, определяющим границы рабочей частотно-силовой характеристики гидроударной машины.

В исследуемой системе особое значение имеет соотношение между частотой и интенсивностью обратной промывки ( $Q_{nomp}$ ). На процесс формирования ( $Q_{nomp}$ ) накладывается ограничение, связанное с выбором диапазона изменения частоты. С одной стороны, частота ударов бойка ( $n$ ) не должна быть меньше необходимой для

реализации ударно-вибрационного эффекта ( $n_1$ ), с другой стороны, этот параметр должен быть настолько мал, чтобы обеспечить условие достаточного заполнения водой рабочей камеры насоса ( $Q_{nomp}^{min}$ ) [2, 4].

При отмеченном характере функциональных связей между различными группами параметров системы «ПБС — скважина» показателем оптимизации системы является эффективная мощность гидроударной машины ( $N_3 = En$ ). Если относить  $N_3$  к величине мощности на привод ( $N_{np}$ ), то критерий оптимальности гидроударной машины адекватен коэффициенту полезного действия машины ( $\eta$ ).

При ограничениях на быстродействие вытеснителя НБ (он кинематически и механически связан с поршнем гидродвигателя), достижение условия  $N_3 \rightarrow \max$  возможно лишь за счет увеличения параметра  $E$ .

Для получения наибольших значений энергии удара необходимо выделение оптимального хода ( $S_{opt}$ ), при котором скорость соударения поршня ( $V_2$ ) максимальна. Максимум значения ( $E$ ) достигается при соответствующей, заранее определенной массе бойка ( $m_b$ ). С учетом нормативных и технических ограничений, задача создания систем наиболее полно удовлетворяющих различным условиям бурения в производственных условиях, сужена областью получения стабильных управляемых режимных параметров (частоты и скорости соударения бойка с наковальней ( $n, V_2$ ), которые являются характеристикой погружной машины и остаются постоянными при условии обеспечения их работы достаточным количеством жидкости при необходимом давлении ( $P$ ), не превышающем допустимое значение [ $P$ ]).

С учетом отмеченного, оптимизация гидроударной машины ПБС (алгоритм определения параметров гидродвигателя ПБС представлен на рис.3) сведена к решению задачи выбора оптимального значения КПД машины ( $\eta$ ) по параметру  $S_{opt}$ , для выполнения условия  $V_2 \rightarrow \max$  и оперативного нахождения условного максимума  $N_3$  в ограниченном диапазоне расхода жидкости ( $Q_{min} \leq Q \leq [Q]$ ) и допускаемого давления ( $[P]$ ) в системе. Одновременно оптимизация управляемых режимных параметров системы ( $n$ ) ( $E$ ) и ( $Q_{nomp}$ ) осуществлена по необходимому диапазону достижения составляющих эффективной мощности ГУ ( $n$  и  $E$  внутри области ограничений) путем изменения  $Q$  (в рамках количественных и технических ограничений  $Q$  и  $P_{(1)}$ ).

В предложенном алгоритме использованы дополнительные исходные данные:  $d_T$  — внутренний диаметр керноприемной трубы;  $E_{min}$  — минимально необходимая энергия удара бойка;  $P_y$  — сила удара бойка гидроударной машины;  $Q_{nb}$  — производительности НБ;  $U_k$  — критическая скорость движения гидросмеси в колонковом наборе ПБС;  $\Delta$  — заглубление ПБС за удар;  $\eta_y$  — коэффициент передачи удара буровому снаряду;  $V_{1(opt)}$  — оптимальная скорость бойка соответствующая оптимальному рабочему ходу ( $S_{opt}$ ):

$$N_3 = En \rightarrow \max;$$

$$\eta = \frac{En}{QP_{(1)}} \rightarrow \max;$$

$$Q_{min} \leq Q \leq [Q];$$

$$P \leq [P];$$

$$\left\{ \begin{array}{l} A_{min} = \frac{2E_{min}}{P_y \eta_y (1 - \varphi^2)} \geq \alpha \delta; \\ E = \frac{m V_2^2 (1 - \varphi^2)}{2} \geq E_{min}; \\ \left[ V_2 = \sqrt{V_{1(opt)}^2 - \frac{2S_2 P(t) f}{m}} \right] \geq \left[ V_{2(min)} = \sqrt{\frac{2E_{min}}{m(1 - \varphi^2)}} \right]; \\ V_{1(opt)} = \frac{S_{opt}}{t_1} \left( 1 - e^{-at_1} \right) \left[ 1 - \frac{1}{at_1} \left( 1 - e^{-at_1} \right) \right]; \\ S_{opt} = f([Q]) \dots no.[4]; \\ [Q]_{n\delta} \geq [Q]_{n\delta}^{min} = U_k \pi \delta (d_T - \Delta); \\ [Q]_{n\delta} = f(n); \dots n = \left[ 2 \left( t_1 + \frac{S_2}{V_{1(opt)} k_2} \right) \right]^{-1} \leq n_1. \end{array} \right.$$

Рис.3. Алгоритм процедуры выбора выходных параметров ПБС

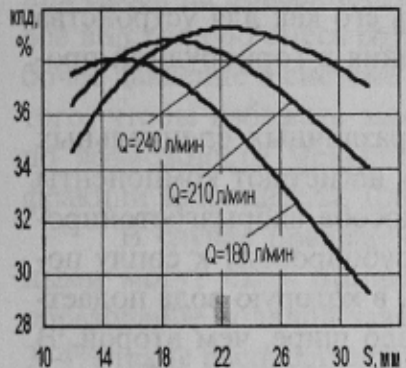


Рис.4. Графики оптимальных значений КПД ПБС

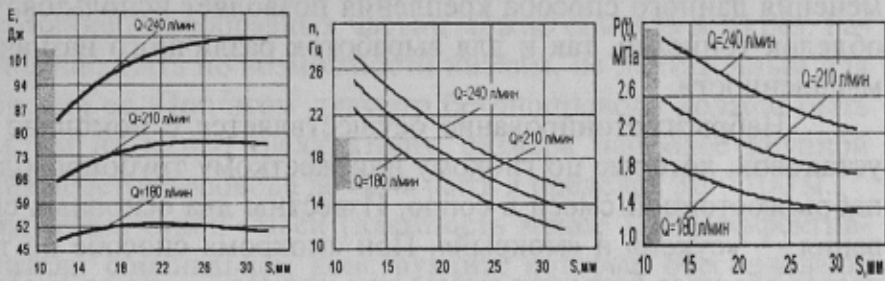


Рис.5. Графики значений энергии удара ( $E$ ), частоты ударов бойка ( $n$ ) и давления в системе ( $P(t)$ ) при  $S_{opt} = 22$  мм

Реализация алгоритма позволила выполнить параметрический синтез погружных буровых снарядов, входящих в состав установок УГВП-130/8. Для типичных донных отложений акватории Азовского моря обоснованы диапазоны частотно-энергетических параметров ПБС, показанные на рис.4 и 5 в виде семейства кривых в функции рабочего хода при установленных уровнях расхода рабочей жидкости.

#### Библиографический список

1. Дерусов В.П. Обратная промывка при бурении геологоразведочных скважин. — М.: Недра, 1984. — 185 с.
2. Калиниченко О.И., Русанов В.А. Влияние условий работы насосного блока установки УГВП-130/8 на энергетические параметры погружателя // Науковий вісник НГА Україні. — Дніпропетровськ, 2000. — Вип. 3. — С. 81–85.
3. Коломоец А.В., Калиниченко О.И., Неудачин Г.И. Методика определения исходных данных при проектировании рабочих параметров виброударных механизмов для ликвидации прихватов бурового инструмента // Изв. Вузов. Нефть и газ, 1982. — Вып.9. — С. 13–17.
4. Калиниченко О.И. Особенности конструкций и элементы проектирования характеристик гидроударных буровых снарядов для однорейсового бурения подводных скважин // Труды Дон ГТУ. Серия Горно-геологическая. Вып. 11. — Донецк, 2000. — С. 16–23.